

## ささ土の異方性について

佐賀大学理工学部 正員 鬼塚克忠  
○吉武茂樹

## 1. 考え方

北部九州一帯に広く堆積している花崗岩の風化土であるささ土は、道路や鉄道の盛土などの材料として多く使用されている。このささ土は人工的に締固めに土中の応力を異方向的であり、また自然に堆積した土中の応力も土粒子の形状が一般に扁平でささう異方的である。しかししながら、異方性を含め、ささ土の力学的特性については不明な点が多い。そこで、佐賀県の3地点で採取してささ土と締固めにささ土につつて一面せん断試験を行った。

この結果、ささり、ささ土と締固めにささ土の非水浸・水浸時にかけた異方性を含め、ささ土の力学的特性について明らかにした。

2. 試料および試験方法： 2.1 試料 試験に使用した試料は表1に示すように、3地点で採取したささ土を用いた。試料Aにつづいて締固め試験では、 $W_{opt}=17\%$ ,  $P_{dmax}=1.69(\text{kg/cm}^2)$ となり、このときの間隙比は $e=0.56$ である。自然間隙比 $e_n=0.86$ はやや緩和状態にあらうと言える。ささり、試料AはCBR用モールドを切工斜面に押し込んで採取した。このモールド内の試料を図-1に示すようにH specimen, V specimenを削り出した。これらの供試体は中6×2cmである。一方、試料Cは、ささ2mm以下の試料を、乾燥剤と最適含水比で10×10×10cmの立方体モールドにランマーによる動的突撃法(Impact compaction)、これと同じ含水比と密度を持つ様な静的締固め(Static compaction)を行って、供試体を削り出した。この場合の供試体は中6×1.2cmである。

2.2 試験方法 試料A, Bにつづいては、改良型の一面せん断試験機を用いて圧密せん断試験(記号C.S)を行つた。せん断方法は応力制御とひずみ制御を併用した。一方、試料Cの場合には、標準型の一面せん断試験機を使用した。

非水浸試験は、30~60分間圧密した後、直ちにせん断を行つた。水浸試験では、圧密後、給水して垂直方向の変位が落ち着つくまでせん断を行つた。

3. 試験結果と考察： 3.1 締固めにささ土の強度異方性 図-2に、試料B, Cのせん断応力・垂直変位と水平変位との関係を示す。試料Cでは、V specimenの方が

Table-1 Soil properties

Sample	A	B	C
Sampling sites	Saga city Kawakubo	Saga prefecture Kanazaki(ozaki)	Saga prefecture Kawakami
Specific gravity	$G_s$	2.64	2.64
Distribution (%)	Gravel Sand Silt Clay	37 45 12 6	36 51 7 6
Consistency (%)	$N_L$ $N_P$ $I_P$	49 29 20	48 31 17
Classification	SM	SM	SM
Natural water content	$W_n(\%)$	21.5	10.6
Natural void ratio	$e_n$	0.86	0.75

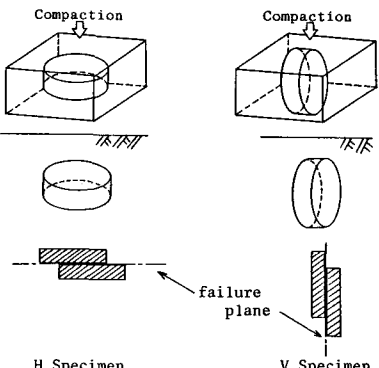
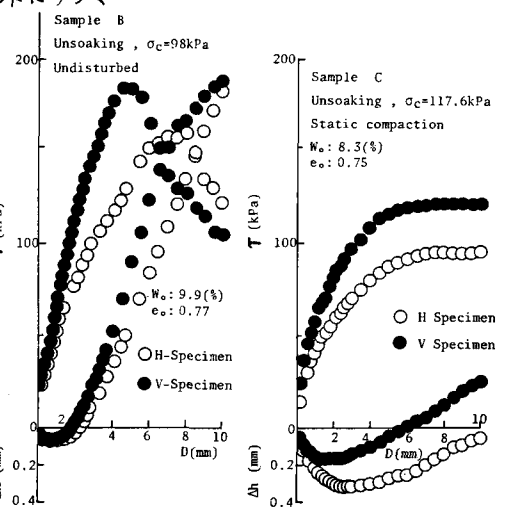


Fig.1 H specimen and V specimen

Fig.2 Relation between shear stress  $\tau$ , vertical displacement  $\Delta h$ , and horizontal displacement  $D$

零変位曲線の水平変位の増加とともに応力も除々に増加し、明確なピークが見られず、応力の減少も少なく破壊に至る。ゆえに延性的な破壊を示してある。次に、H,V Specimen のピーク時のせん断強度(非水浸・水浸)を比較したのが図-3である。V Specimen の方が大きく、その値は約  $(T_f)_V/(T_f)_H = 1.1 \sim 1.2$  である。

3.2 乱さない土と工の強度異方性 図-2に示す様に、試料Bにつきても、V Specimen がピーク時のせん断応力は大きく  $(T_f)_V > (T_f)_H$  であり、膨張量も大きい。また、小さな水平変位でせん断応力のピーク値を示してある。応力・水平変位曲線は、直線的に増加し、明確なピークが現われた後、急激に応力が減少する。ゆえに、性的な破壊を示してある。図面は省略しきれど、試料Aにつきても同様な傾向が見られた。図-4には、せん断強度異方性を示してある。この場合も、V Specimen の方が大きく、その値は  $(T_f)_V/(T_f)_H = 1.1 \sim 1.5$  程度になっており、縮固めた土と工よりも異方性が大きくなっている。

3.3 強度定数 見かけの粘着力  $c$  は、各試料とも V Specimen の方が大きく、内部摩擦角  $\phi$  については、試料A,Bの H,V Specimen にわずかな違いが見られるが、その差は小さい。試料Cについては明確な差異は認められない。このことから、強度異方性は見かけの粘着力  $c$  の異方性に起因しているものと思われる。

3.4 水浸による影響 水浸すると、せん断応力はかなり減少し、その割合は縮固め工の方が大きい。非水浸時に比べて約50%程度に低下するものもある。これは、見かけの粘着力  $c$  が水浸によって急減するためと考えられる。しかし、H,V Specimen の異方性は変わらなかった。これは粗粒分を約10-20%程度含む土が砂に近い性質を示しておいたためと推察される。

3.5 結果の考察 以上のような試験結果から、乱さない土と工と縮固めた土と工の工構造を簡単にモデル化すると図-5の様になる。乱さない土と工は水平方向に土粒子が配向し、土粒子間の結合力も強く、堅固な工構造に。また縮固めた土と工の場合、動的突固めでは、ランダムではあるが水平方向の粒子配置が卓越した工構造に、静的縮固めは、水平方向により配向した工構造になり Fig.5 Soil structures of decomposed granite soils るものと考えられる。この工粒子の配向性が強度異方性に大きく寄与しているものと思われる。ただし水浸しても強度異方性に変化は見られなかった。

今回の試験で、土かぶり圧に比べて垂直応力が大きいと思われ、低圧によるせん断試験結果が必要であると思われる。

#### 参考文献

鬼塚克忠、南里勝「乱さない土と工と縮固めた土と工のせん断特性」第1回土壤工学会講演集(1982) p461~p464

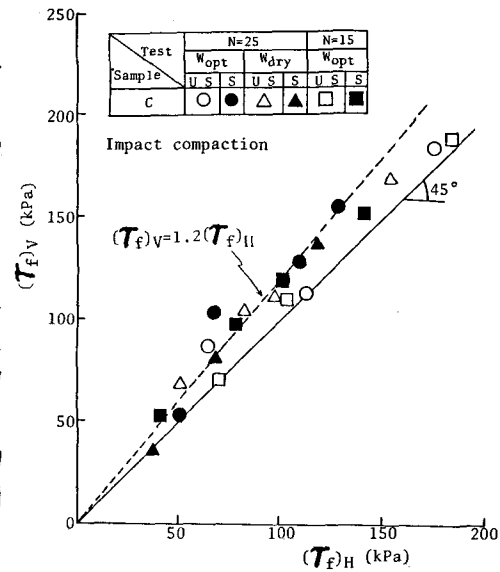


Fig. 3 Shearing strength of H specimen and V specimen (Impact compaction)

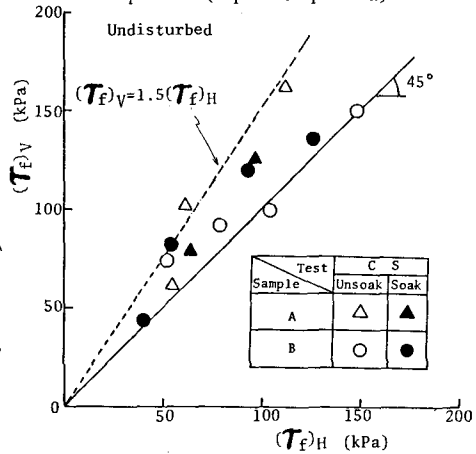


Fig. 4 Shearing strength of H specimen and V specimen (Undisturbed)

